

## بررسی تأثیر غلظت عامل احیاکننده و pH بر خصوصیات ساختاری نانوذرات مغناطیسی مگنتایت جانشانی شده با روی

بهاره رضایی<sup>1\*</sup>، احمد کرمانپور<sup>2</sup>، شیدا لباف<sup>3</sup>

### چکیده

امروزه نانوذرات فریت‌های اسپینلی به دلیل ویژگی‌های برتر مغناطیسی و زیست سازگار بودن، در عرصه پزشکی برای درمان سرطان، رهایش دارو، و تصویربرداری تشدید مغناطیسی کاربرد گسترده‌ای یافته‌اند. به دلیل وابستگی شدید خواص مغناطیسی به مورفولوژی و سایر جنبه‌های ساختاری، خواص مغناطیسی این نانوذرات به فرایند ساخت آن‌ها وابسته است. یکی از اهداف محققان بهبود ویژگی‌های مغناطیسی این نانوذرات از طریق جانشانی عناصری از قبیل منگنز، کبالت، روی، نیکل، منیزیم و آهن است. در این پژوهش، ابتدا نانوذرات مغناطیسی  $Zn_{0.3}Fe_{0.6}O_4$  به روش هیدروترمال در حضور اسید سیتریک به عنوان عامل احیاکننده سنتز شد. برای کاهش میزان ناخالصی و حصول فاز اسپینل خالص و کاهش اندازه نانوذرات مغناطیسی، فرایند هیدروترمال در حضور مقادیر مختلف غلظت عامل احیا و pH انجام شد. بررسی‌های ساختاری نانوذرات حاصل با آزمون‌های پراش پرتو ایکس (XRD) و میکروسکوپ الکترونی روبشی (SEM) انجام شد. نتایج نشان داد که برای حصول نانوذرات اسپینلی خالص و تکفاز با اندازه و توزیع اندازه ذرات مناسب، کنترل غلظت عامل احیاکننده و pH ضروری است.

1- دانشجوی کارشناسی ارشد، شناسایی و انتخاب مواد، دانشکده مهندسی مواد، دانشگاه صنعتی اصفهان، اصفهان 84156-83111، ایران  
[bahar.rezaei@ma.iut.ac.ir](mailto:bahar.rezaei@ma.iut.ac.ir)

2- استاد، نانو مواد و شبیه سازی فرآیند، دانشکده مهندسی مواد، دانشگاه صنعتی اصفهان، اصفهان 84156-83111، ایران

3- استادیار، بیومواد، دانشکده مهندسی مواد، دانشگاه صنعتی اصفهان، اصفهان 84156-83111، ایران

**6<sup>TH</sup>**  
**INTERNATIONAL CONFERENCE**  
**on MATERIALS ENGINEERING**  
**and METALLURGY**



**ششمین کنفرانس بین المللی**

**مهندسی مواد و متالورژی**

**ویازدهمین کنفرانس مشترک**

**انجمن مهندسی متالورژی و مواد ایران و انجمن علمی ریخته گری ایران**

کلمات کلیدی: کلمات کلیدی: نانوذرات مغناطیسی، فریت روی، روش  
هیدروترمال، عامل احیا کننده

## مقدمه

نانو ذرات مغناطیسی می‌توانند کاربردهای بالقوه زیادی در زمینه‌های مختلف مانند ابزارهای ذخیره اطلاعات، عکس برداری از بدن، ذخیره‌سازی انرژی، ذخیره‌سازی اطلاعات مغناطیسی زیست پزشکی مانند زیست حسگرها، رهایش دارو، به عنوان عوامل کنتراست برای تصویربرداری رزونانس مغناطیسی (MRI) و فراگرمایی برای درمان سرطان دارند [2].

برای آن که نانو ذرات مغناطیسی بتوانند کاربردهای زیستی داشته باشند، باید بین 10-100 نانومتر باشد؛ چون در اندازه‌ی کمتر از ده نانومتر از طریق کلیه‌ها دفع می‌شوند و در مقیاس بزرگتر از 200 نانومتر به عنوان یک جسم خارجی، به وسیله‌ی سیستم دفاعی بدن از بین می‌روند. ویژگی مغناطیسی ذرات به اندازه، شکل، نسبت اجزای سازنده (برای مثال نوع نمک استفاده شده برای تهیه هسته مغناطیسی، نسبت بین ذرات مغناطیسی، pH و قدرت یونی محیط) و پوشش اطراف نانو ذرات بستگی دارد [3]. نانو ذرات مغناطیسی که در زیست پزشکی مورد بررسی قرار گرفته اند، بیشتر شامل اکسیدهای آهن هستند [4]. از میان اکسیدهای آهن نانو ذرات مگنتایت ( $Fe_3O_4$ ) یکی از گزینه‌های مهم مورد استفاده در زمینه پزشکی است. ساختار مگنتایت به گروه مواد سخت معدنی با ساختار  $AB_2O_4$  تعلق دارد. شناسایی مگنتایت موجود در فروشاره‌های مغناطیسی از اکسیدهای آهن هموگلوبین موجود در خون کاردشواری بوده و از آنجا که مغناطش اشباع با کاهش اندازه ذرات و اعمال پوشش زیست سازگار بر روی سطح آن‌ها کاهش می‌یابد، بنابراین برای برطرف کردن این مشکل پیشنهاد شده است که از فریت‌های ترکیبی ( $MFe_2O_4$  که  $Co=M$   $Zn, Ni, Mn$ ) استفاده شود. از آنجاییکه ترکیب شیمیایی، مشخصات ریز ساختاری، اندازه و توزیع اندازه ذرات، شکل و مورفولوژی آن‌ها بیشترین تأثیر را روی خواص مغناطیسی دارند، باید روش ساخت مناسبی استفاده نمود که کنترل فوق‌العاده‌ای بر روی این پارامترها داشته باشد [5]. از جمله مهم‌ترین روش‌های شیمیایی‌تر که برای ساخت نانو ذرات مغناطیسی مگنتایت جانمایی شده با دیگر عناصر به کار

رفته، عبارتند از: روش هم رسوبی<sup>1</sup> تخریب حرارتی<sup>2</sup>، میکروامولسیون<sup>3</sup>، پلی ال<sup>4</sup>، سولووترمال<sup>5</sup> و سل-ژل [44]. اما روش هیدروترمال به علت تولید محصولاتی با خلوص بالا و استوکیومتری کنترل شده، یکنواختی شکل و مورفولوژی و ریزساختار کنترل شده، بلورینگی بالا و عیوب کم، تولید ذراتی با اندازه ی کنترل شده و توزیع اندازه ی باریک از طریق تنظیم دمای واکنش، زمان فرآیند، افزودنی ها و دیگر فاکتورها، تک مرحله ای و دوست دار محیط زیست بودن برای سنتز نانوذرات مغناطیسی مورد توجه قرار گرفته است. جانگ<sup>6</sup> و همکارانش تأثیر آلییدن نانوذرات فریتی با Zn را بر کارایی آن ها در افزایش کنتراست MRI و فراگرمایی مغناطیسی مورد قرار دادند. در این پژوهش، ساخت نانوذرات به روش تجزیه گرمایی انجام شد [6]. به علت استفاده از سورفکتانت-های سمی در سنتز به روش تجزیه حرارتی، استفاده از این روش را برای کاربردهای پزشکی درون تن، دچار مشکل می-کند [7]. مشکل اساسی استفاده از ذرات در شرایط درون تن، جذب عناصر بیولوژیکی مثل پروتئین های پلاسما روی سطح آبگریز ذرات است که باعث می شود ذرات سریعاً از گردش خون خارج شوند. البته با پوشش آبدوستی که روی سطح ذرات ایجاد می کنند این مشکل رفع می گردد. اندازه هیدرودینامیکی ذرات در مورد مخفی ماندن آن ها از سیستم فاگوسیتوزی بدن نقش مهمی را ایفا می کند. هرچه اندازه ذرات بزرگتر باشد زودتر توسط کبد به دام می افتد در حالی که ذرات کوچکتر در جریان خون نیمه عمر بیشتری دارند [8]. از این رو زهرایی و همکاران نانوذرات فریت روی با اندازه متوسط 14 نانومتر را در

<sup>1</sup> Co-precipitation

<sup>2</sup> High-temperature decomposition of organometallic Precursors

<sup>3</sup> Microemulsion

<sup>4</sup> Polyol

<sup>5</sup> Solvothermal

<sup>6</sup> Jang

حضور سیتریک اسید برای ایجاد پوشش آب دوست بر روی سطح نانوذرات، به روش هیدروترمال، به عنوان عامل کنتراست در تصویربرداری تشدید مغناطیسی، سنتز کردند [9]. در پژوهش حاضر سعی می‌شود با تغییر شرایط فرایند هیدروترمال از قبیل میزان عامل احیای سیتریک اسید و pH، ویژگی‌های نانوذرات مغناطیسی مگنتایت جانشانی شده با روی حتی الامکان بهبود یابد.

### مواد و روش تحقیق

#### 1-3 مواد اولیه

همه مواد برای ساخت شاره های مغناطیسی شامل نیترات آهن  $Fe(NO_3)_3 \cdot 9H_2O$  III، هیدروکسید آمونیوم 25%  $(NH_4OH)$ ، نیترات روی  $Zn(NO_3)_2$ ، اسید سیتریک  $(C_6H_8O_7 \cdot H_2O)$  و استون از شرکت مرک آلمان با کمینه خلوص 99% بود.

#### 2-3 ساخت نانو ذرات مغناطیسی مگنتایت جانشانی شده به

##### روش احیای هیدروترمال

برای ساخت نانوذرات مگنتایت جانشانی شده با روی با فرمول  $Zn_{0.3}Fe_{2.7}O_4$ ، 11/8 میلی مول نیترات آهن III و 1/3 میلی مول نیترات روی در 25 میلی لیتر آب مقطر دی یونیزه حل شد. این محلول توسط یک هم‌زن مغناطیسی به طور مداوم به مدت 20 دقیقه هم زده شد. برای افزایش pH به مقادیر مورد نظر (9، 9/5 و 10) از محلول آمونیوم هیدروکسید استفاده شد. در این شرایط رسوب قهوه‌ای متمایل به نارنجی در ظرف به وجود آمد. برای از بین بردن یون‌های ناخواسته محلول در آب مانند یون‌های آمونیوم و نیترات، عمل شستشوی دقیق رسوبات با سانتریفیوژ انجام شد. در نهایت برای بررسی تأثیر یون‌های سیترات مقادیر 6، 6/5 و 7 میلی مول سیتریک اسید به این رسوبات اضافه شد و در پوشش تفلونی به حجم 320 میلی لیتر ریخته شد. برای انجام فرایند هیدروترمال، پوشش تفلونی درون محفظه فولادی قرار داده شد و در دمای 180 درجه سانتی‌گراد و به مدت 15 ساعت نگهداری شد. رسوبات سیاه به دست آمده چندین بار با استون شستشو داده شد. سپس رسوبات در آون با دمای 70 درجه به مدت 4 ساعت خشک گردید. جدول 1. نمونه‌های ساخته شده در مقادیر مختلف از pH و سیتریک اسید

| کد نمونه | دما (درجه سانتی گراد) | زمان (ساعت) | عامل احیا (میلی مول) | pH بعد از اضافه کردن آمونیوم هیدروکسید |
|----------|-----------------------|-------------|----------------------|--|
| Br.1     | 180                   | 15          | 6                    | 9                                      |
| Br.2     | 180                   | 15          | 6/5                  | 9                                      |
| Br.3     | 180                   | 15          | 7                    | 9                                      |
| Br.3     | 180                   | 15          | 7                    | 9                                      |
| Br.4     | 180                   | 15          | 7                    | 9/5                                    |
| Br.5     | 180                   | 15          | 7                    | 10                                     |

**3-3 مشخصه یابی نانوذرات مگنتایت جانشانی شده با روی**

**3-3-1 بررسی الگوی پراش پرتوی ایکس**

برای تعیین فازهای تشکیل شده آزمایش پراش پرتوی ایکس (XRD) توسط یک دستگاه بروکر مدل D8 ADVANCED با تابش  $CuK\alpha$  با طول موج 1/5406 آنگستروم در دانشگاه صنعتی اصفهان انجام شد. برای محاسبه میانگین اندازه بلورکها<sup>1</sup> معادله شرر اصلاح شده به کار گرفته شد.

$$d = 0.9\lambda/\beta\cos\theta$$

که در آن  $\lambda$  طول موج پرتوی ایکس،  $\beta$  پهنای قله مورد نظر در نصف شدت بیشنه و  $\theta$  زاویه براگ قله مورد نظر است.

**3-3-2 میکروسکوپ الکترونی روبشی<sup>2</sup>**

اندازه و توزیع اندازه نانوذرات با استفاده از یک دستگاه میکروسکوپ الکترونی روبشی (SEM) Philips, XL30 در دانشگاه صنعتی اصفهان مورد بررسی قرار گرفت.

**نتایج و بحث**

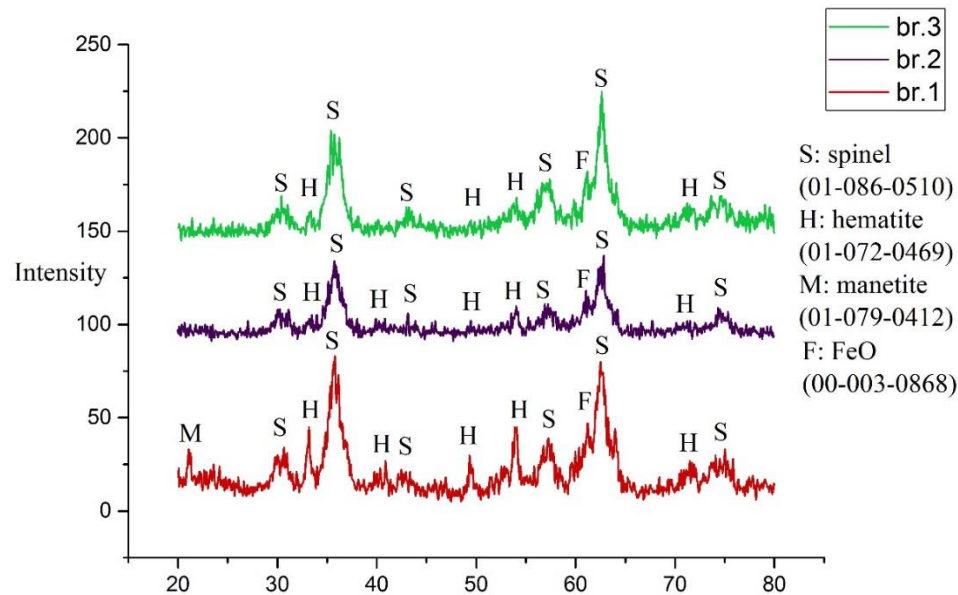
**1. تأثیر یونهای سیترات بر روی نانوذرات مگنتایت جانشانی**

**شده با روی  $Zn_{0.3}Fe_{2.7}O_4$**

الگوی پراش پرتوی ایکس نمونه های ساخته شده در مقادیر مختلف از عامل احیای سیتریک اسید را در زیر مشاهده می-کنید.

<sup>1</sup> Crystallite Size

<sup>2</sup> Scanning electron microscopy



شکل 1. الگوی پراش پرتوی ایکس نمونه های br.1، br.2 و br.3 در مقادیر مختلف از سیتریک اسید

با توجه به الگوی پراش پرتوی ایکس (XRD) نمونه ها در مقادیر مختلف از عامل احیاء، می توان نتیجه گرفت با افزایش حضور یون های سیترات در محیط واکنش هیدروترمال، میزان تشکیل فاز ناخالص و غیر مغناطیس هماتیت ( $\alpha\text{-Fe}_2\text{O}_3$ ) و FeO و اندازه بلورکها همان طور که در جدول 2 مشاهده می-کنید و از تغییر پهنای قله های پراش یافته مشخص است، کاهش می-یابد. دلیل آن است که در روش هیدروترمال در حضور یون های سیترات، ساز و کار تشکیل مگنتایت انحلال-بازرسوبی خواهد بود به این صورت که پس از ایجاد یون های  $\text{Fe}^{2+}$  در سطح ذرات فری هیدرات، این یون ها به دلیل ناپایدارتر بودن پیوند  $\text{Fe}^{2+}\text{-O}$  از پیوند  $\text{Fe}^{3+}\text{-O}$  از سطح فری هیدرات جدا می-شوند. حضور یون های آهن دوظرفیتی محلول در محیط واکنش، کاتالیستی برای انحلال بیشتر فری هیدرات و آزادسازی یون-های آهن سه ظرفیتی از سطح فری هیدرات است [10]. حضور یون های آهن دوظرفیتی و سه ظرفیتی به طور آزاد در محیط باعث بازرسوبی مگنتایت در محیط واکنش می شود [11]. در مقادیر

کمتر از عامل احیای سیتریک اسید بیشتر پیکهای پراش یافته متعلق به فاز ناخالص هماتیت می باشد زیرا در حضور یون های سیترات در محیط واکنش، یون های آهن III ( $Fe^{3+}$ ) به ( $Fe^{2+}$ ) احیاء می شوند. وقتی میزان یون های سیترات کم است، مقدار کمتری از آهن III ( $Fe^{3+}$ ) به ( $Fe^{2+}$ ) تبدیل می شود در نتیجه میزان فاز اسپینل خالص کاهش می یابد و باقی مانده یون های ( $Fe^{3+}$ ) به هماتیت تبدیل می شوند. با افزایش میزان سیتریک اسید به 7 میلی مول میزان ناخالصی در ساختار کاهش خواهد یافت، و اندازه بلورکها ریزتر خواهد شد که دلیل آن افزایش میزان یون های سیترات در محیط واکنش است که از رشد بلورکها جلوگیری خواهد کرد. [12].

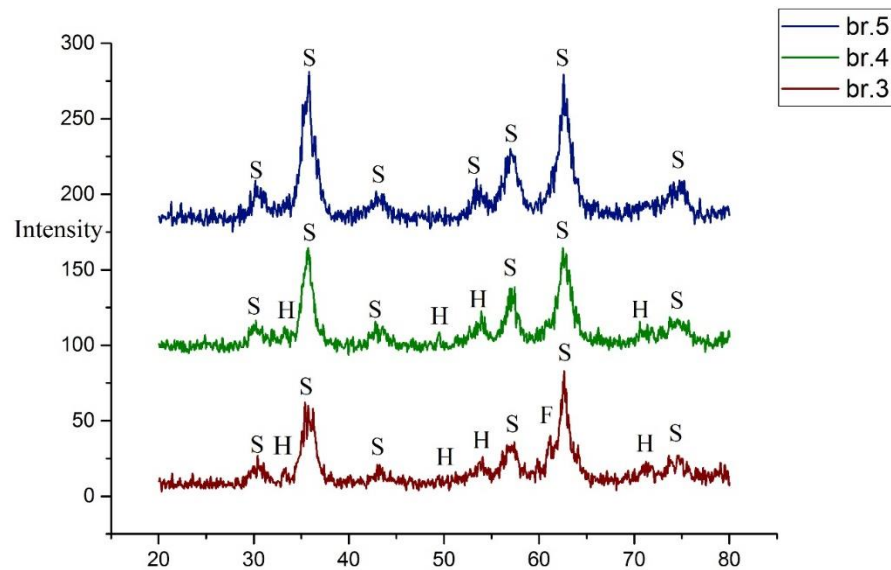
جدول 2. میانگین اندازه بلورکهای نمونه های با مقادیر اسید سیتریک مختلف

| کد نمونه | فاز اسپینل (%) | فاز هماتیت (%) | اندازه بلورک اسپینل (nm) |
|----------|----------------|----------------|--------------------------|
| Br.1     | 41/5           | 46/17          | 17/8                     |
| Br.2     | 60             | 33/17          | 17/4                     |
| Br.3     | 72/25          | 21/75          | 15/44                    |

## 2. تأثیر pH محلول بر روی ساختار $Zn_{0.3}Fe_{2.7}O_4$

الگوی پراش پرتو ایکس نمونه ها با مقادیر گوناگون pH (9، 9/5 و 10) در شکل 2 نشان داده شده است. میانگین اندازه بلورکها در جدول 3 آورده شده است. مشاهده می شود با افزایش pH علاوه بر کاهش بیشتر میزان ناخالصی های موجود، بلورینگی ذرات و اندازه بلورکها افزایش می یابد. این موضوع نشان می دهد که با افزایش pH نرخ جوانه زنی رسوبات فری هیدرات افزایش یافته و ذرات کوچک از بین رفته و ذرات بزرگتر همچنان به رشد خود ادامه می دهند همانطور که صفی و همکاران در سنتز نانوذرات فریت کبالت به این نتیجه رسیده اند [13].



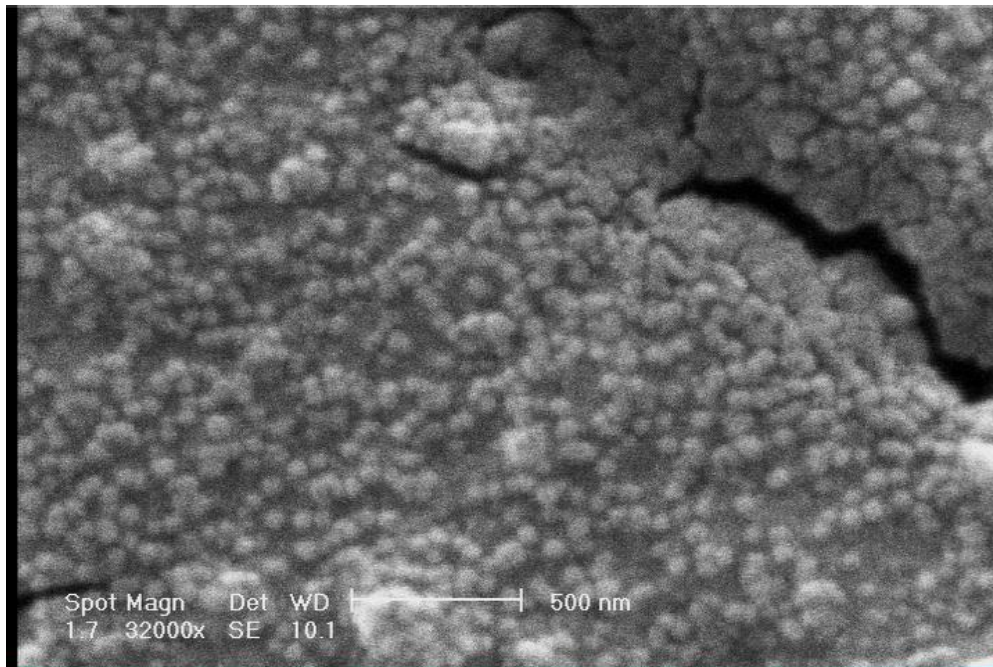


شکل ۲. الگوهای پراش پرتو ایکس نمونه های br3، br4 و br5 در مقادیر مختلف از pH.

جدول ۳. میانگین اندازه بلورهای نمونه های با مقادیر مختلف pH.

| نمونه | فاز اسپینل (%) | فاز هماتیت (%) | اندازه بلور اسپینل (nm) |
|-------|----------------|----------------|-------------------------|
| Br.3  | 72/25          | 21/75          | 15/44                   |
| Br.4  | 82/25          | 17/75          | 16/14                   |
| Br.5  | 100            | 0              | 28                      |

تصویر میکروسکوپ الکترونی روبشی نمونه br.5 نشان می دهد که نانوذرات مگنتایت جانمایی شده با روی به روش هیدروترمال به صورت کروی و یکنواخت در حضور سیتریک اسید به عنوان عامل احیاء سنتز شدند.



شکل 4-3. تصویر میگروسکوپ الکترونی روبشی (SEM) نمونه br.5

### نتیجه گیری

نانوذرات مگنتایت جانمایی شده با روی با استوکیومتری  $Zn_{0.3}Fe_{2.7}O_4$  به روش هیدروترمال در حضور سیتریک اسید به عنوان عامل احیاء در دمای  $185^{\circ}C$  به مدت 15 ساعت در مقادیر مختلف از pH و عامل احیاء سنتز شدند. نتایج نشان می‌دهد با افزایش میزان سیتریک اسید مقادیر فازهای ناخالص موجود از قبیل هماتیت کاهش می‌یابد و در  $pH=10$  به فاز اسپینل خالص با اندازه بلورهای 28 نانومتر خواهیم رسید.

### مراجع

- [1]. Issa, B., Obaidat, I.M., Allbis, B.A., Haik, "Magnetic Nanoparticles: Surface Effects and Properties Related to Biomedicine Applications", International Journal of Molecular sciences, Vol.14, pp. 21266-21305, 2013.
- [2]. Phumying, S., Labuayai, S.W., Swatsitang, E., Amornkitbamrung, V. and Maensiri, S., " Nanocrystalline spinel ferrite ( $MFe_2O_4$ , M = Ni, Co, Mn, Mg, Zn) powders prepared by a simple aloe vera plant-extracted solution hydrothermal route", Materials Research Bulletin, Vol. 48, pp. 2060-2065, 2013.

[3]. زهره زرنگار، جواد صفری، هوش مغناطیسی نانوذرات، دانشگاه کاشان، ماهنامه جهان گستر، ش 76، 1389.

- [4]. Brazel, C.S., "Magnetothermally-responsive Nanomaterials: combining Magnetic Nanostructure and Thermally-Sensitive Polymers for Triggered Drug Release" *Pharmaceutical Research*, Vol. 26, pp.664-656, 2009

[5]. طاهره زرگر. دانشکده مهندسی مواد، دانشگاه صنعتی اصفهان، پایان نامه کارشناسی ارشد.

- [6]. Jang, J.T., Nah, H., Lee, J.H., Moon, S.H., Kim, M.G and Cheon, J., "Critical enhancement of MRI contrast and hypertermic effects by dopant-controlled magnetic nanoparticle", *Angewandte Chemie International Edition* Vol. 48, pp. 1234-1238, 2009.

- [7]. Roca, A.G., Costo, R., Rebolledo, A.F., Veintemillas-Verdaguer, S., Tartaj, P., Gonzalez-Carre, T., Morales, M.P. and Serna, C.J., "Progress in the preparation of magnetic nanoparticle for applications in biomedicine" *Journal of Applied Physics* Vol. 42, pp. 2224002-224013, 2009.

[8]. محمد قنبری، علی قنبری، درمان هدفمند سرطان با نانوذرات مغناطیسی، ستاد ویژه توسعه فناوری نانو، آذر 93.

- [9]. M, Zahraei, A, Monshi, M, del Puerto Morales, D, Shabazi-Gahrouie, M, Amirnasr, B, Behdadfar "Hydrothermal synthesis of fine stabilized superparamagnetic nanoparticle of Zn<sup>2+</sup> substituted manganese ferrite ", *Journal of Magnetism and Magnetic Materials*, 393, 429-436, 2015.

- [10] Sulzberger, B., Suter, D., Siffert, C., Banwart, S., Stumm, W., "Dissolution of Fe (III) (hydr) oxide in natural water: laboratory assessment on the kinetics controlled by surface coordination", *Marine Chemistry*, Vol. 28, pp. 127-144, 1989.

- [11] Tronc, E., Belleville, p., Jolivet, J.P., Livage, J., "Transformation of ferric hydroxide into spinel by Fe (II) adsorption", *Langmuir*, Vol. 8, pp. 313-319, 1992.

- [12]. Behdadfar, B., Kermanpur, A., Sadeghi-Aliabadi, H., Puerto Morales, M.D., Mozaffari, M., "Synthesis of high intrinsic loss power aqueous ferrofluids of iron oxide nanoparticles by citric acid-assisted hydrothermal-reduction route", *Journal of Solid State Chemistry*, Vol. 187, pp. 20-26, 2012.

- [13]. Safi, R., Ghasemi, A., Shoja-razavi, R., Tavousi, M., "The role of pH on the particle size and magnetic consequence of cobalt ferrite" *Journal of Magnetism and Magnetic Materials*, 2015.